

менее 35 Вт, т. е. мы имеем на выходе насадки мощность, ослабленную всего в 2 раза, и вся эта энергия доставляется в нужное место.

### **Взаимодействие лазерного света с веществом**

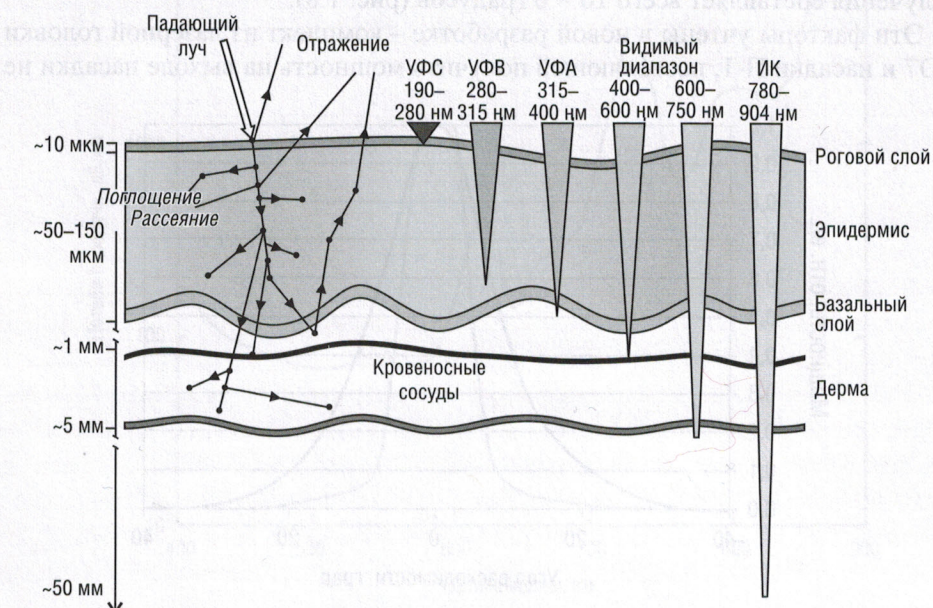
**Закон поглощения Бугера** – соотношение, определяющее ослабление интенсивности параллельного монохроматического луча света при распространении его в поглащающем веществе:

$$I = I_0 \cdot e^{-\mu l}$$

где  $I_0$  и  $I$  – начальная и конечная интенсивность света,  $e$  – основание натуральных логарифмов,  $l$  – глубина проникновения,  $\mu$  – показатель (коэффициент) поглощения, физический смысл – это расстояние, на котором интенсивность излучения ослабевает в  $e$  (2,71) раз. Коэффициент поглощения зависит от поглащающего вещества и длины волны падающего излучения ( $\lambda$ ), поэтому более правильно обозначать как  $\mu_\lambda$ .

То есть в зависимости от длины волны свет лазера проникает на разную глубину, что во многом определяет конечный результат воздействия и терапевтическую эффективность НИЛИ.

На рис. 1.9 представлена качественная иллюстрация условной глубины проникновения света в кожу для различных частей спектра. Это первое и чрезвы-



**Рис. 1.9.** Глубина проникновения в кожу лазерного света различных спектральных диапазонов

чайно важное требование к любой методике лазерной терапии – выбор длины волны, которая определяет объёмное распределение поглощаемой энергии. Свет, например в зелёной области спектра (520–525 нм), сильно поглощается в верхних слоях дермы, такое НИЛИ лучше всего использовать в косметологии и дерматологии, но нельзя в методике воздействия на проекцию внутренних органов и иммунной системы, или на проекцию крупных кровеносных сосудов (как альтернатива ВЛОК). Для этих методик требуются лазеры, работающие в красной или ИК областях, кроме того, исключительно импульсные (см. 2-ю и 3-ю части книги).

Процесс распространения света в коже проиллюстрирован подробно на рис. 1.10, где: 1 – роговой слой; 2 – эпидермис; 3 – пограничная зона между эпидермисом и дермой (базальная мембрана); 4 – дерма; 5 – капилляр; 6 – терминальная артериола и 7 – посткапиллярная венула. Стрелками указаны направления движения фотонов света в коже. Расстояние между стрелками – длина пробега фотона, а толщина стрелок – его относительная энергия; а – падающий свет; б – свет, отражённый от поверхности рогового слоя на границе «воздух–кожа»; в – свет, прошедший через роговой слой; внутри эпидермиса и дермы фотоны взаимодействуют (поглощаются и рассеиваются) на клеточных элементах и меланосомах (г, д), на базальной мемbrane (е), коллагене (ж), кровеносных сосудах (з). Кроме того, взаимодействие света происходит и с элементами придатков кожи [Утц С.Р., 2000].

Приведём также несколько спектральных зависимостей коэффициента поглощения света  $\mu_\lambda$  для различных биотканей и сред (рис. 1.11–1.17). Ссылки на них и комментарии неоднократно встречаются в других разделах книги.

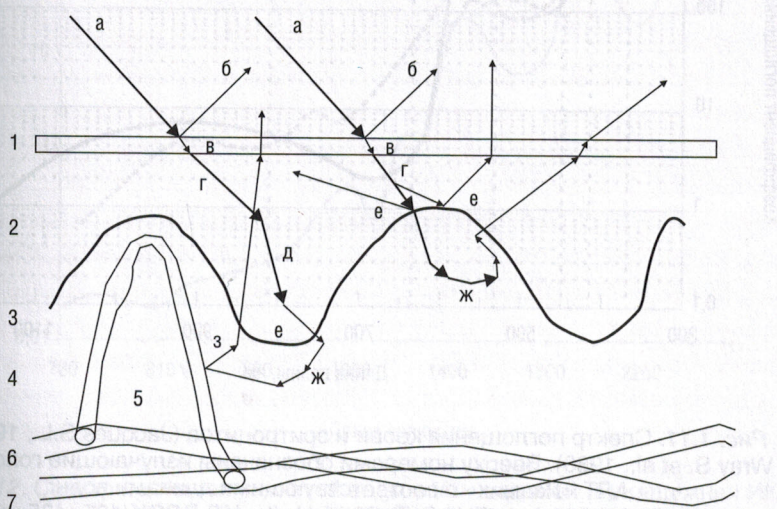


Рис. 1.10. Распространение света в коже, комментарии в тексте (Утц С.Р., 2000)

Особо акцентируем внимание на одном важном обстоятельстве. Поскольку коэффициент поглощения находится в показателе экспоненциальной функции, то в зависимости от его значения фактическое ослабление интенсивности падающего света будет происходить экспоненциально. Например, при  $\mu_\lambda = 1$  на глубине 1 см свет ослабнет в 2,71 раза, а при  $\mu_\lambda = 10$  на такой же глубине интенсивность (мощность) уменьшится уже в  $e^{10}$ , или более чем в 20 000 раз, а не в десять, как может показаться с первого взгляда.

*Магнитное поле* – это одна из форм электромагнитного поля, особая форма взаимодействия между движущимися заряженными частицами в проводниках или нескомпенсированными молекулярными токами в постоянных магнитах. Графически изображают силовыми линиями, которые образуют в пространстве замкнутые линии. Биологические объекты практически прозрачны для магнитных полей [Соловьев Г.Р., 1991]. Основной характеристикой магнитного поля является магнитная индукция. Единица измерения в *Тесла* [Тл], на практике чаще используют постоянные магниты с индукцией 35–50 мТл. В сочетанной методике магнитолазерной терапии (МЛТ), внешнее постоянное магнитное поле позволяет повысить эффективность действия НИЛИ, но

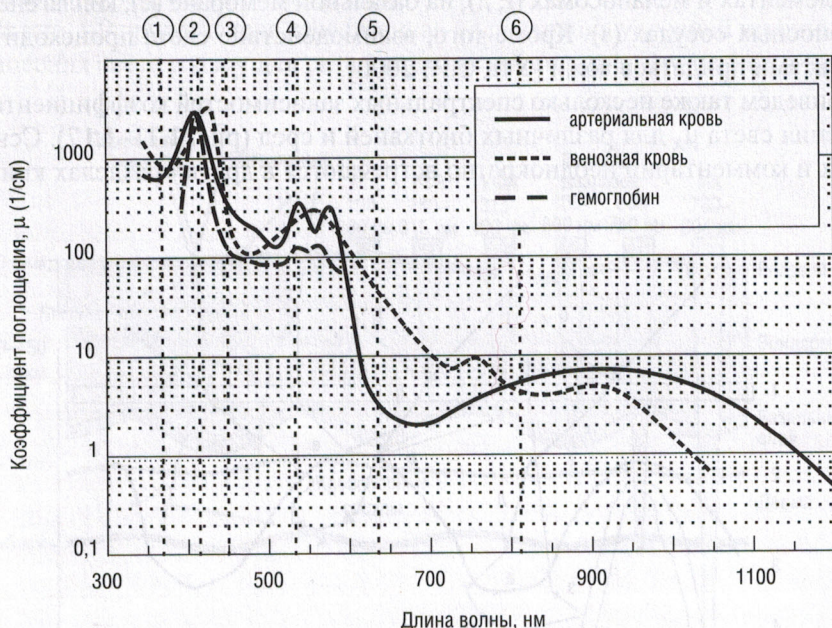


Рис. 1.11. Спектр поглощения крови и эритроцитов (Jacques S.L., 1998; Wray S. et al., 1988). Вверху номерами обозначены излучающие головки для АЛТ «Лазмик» с соответствующими длинами волн:

- 1 – КЛ-ВЛОК-365 (для ЛУФОК®, 365 нм); 2 – КЛ-ВЛОК-405 (405 нм);
- 3 – КЛ-ВЛОК-445 (445–450 нм); 4 – КЛ-ВЛОК-525 (520–525 нм);
- 5 – КЛ-ВЛОК-635 (635 нм); 6 – КЛ-ВЛОК-808 (808 нм)

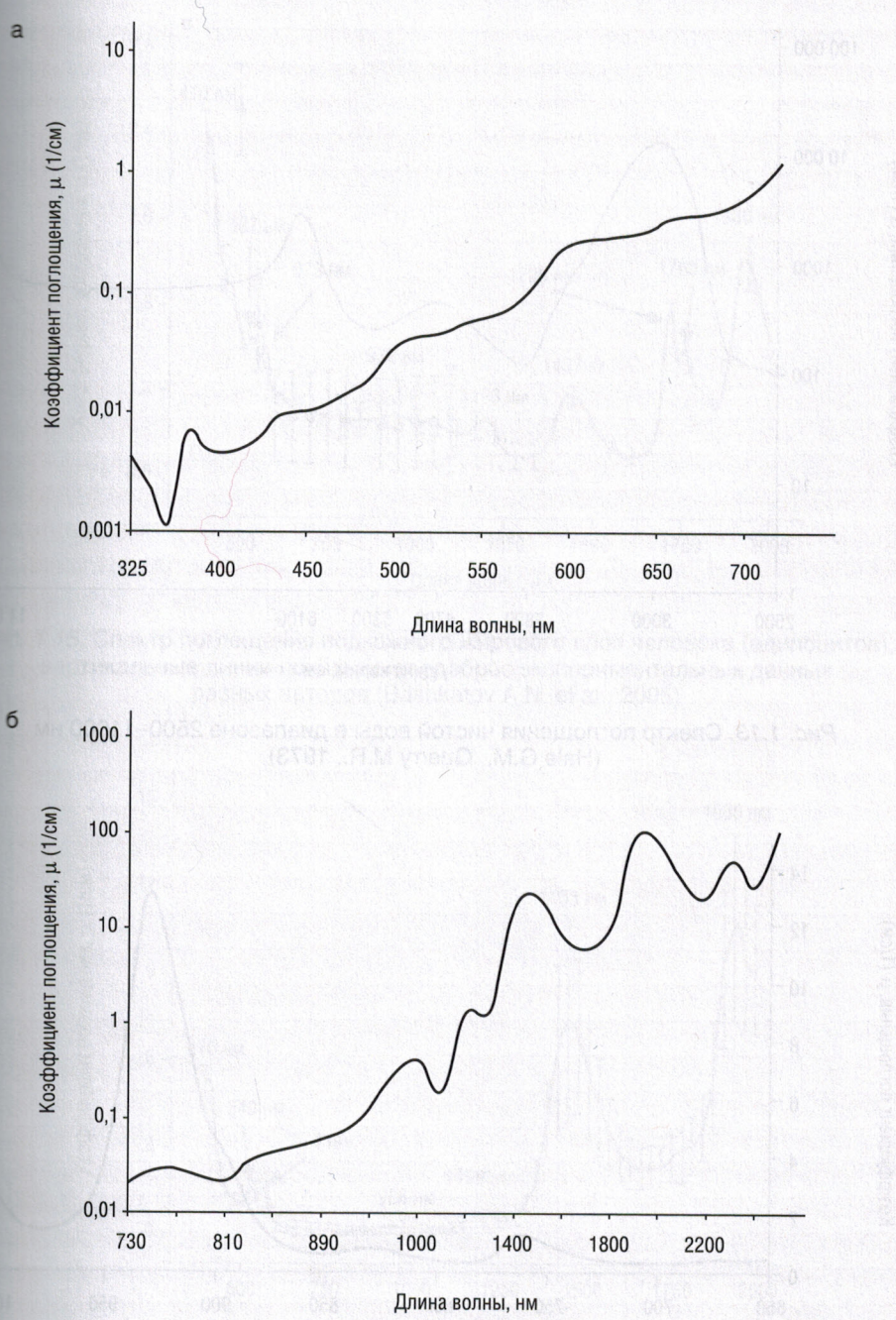


Рис. 1.12. Спектр поглощения чистой воды в УФ, видимой (а) и ближней ИК (б) областях (Hale G.M., Querry M.R., 1973; Irvine W.M., Pollack J.B., 1968; Kou L. et al., 1993; Matcher S.J. et al., 1994; Pope R.M., Fry E.S., 1997; Sullivan S.A., 1963; Wieliczka D.M. et al., 1989)

Проанализируем более детально результаты исследований по теме раздела, которые были сделаны для различных спектральных диапазонов.

### **633–635 нм (красный спектр, «классический» вариант ВЛОК)**

Ещё раз напоминаем, что в современных аппаратах применяют исключительно диодные лазеры с длиной волны 635 нм, которые успешно заменили ГНЛ (633 нм). Эта небольшая разница в длинах волн (+2 нм) пошла даже на пользу эффективности методики, не говоря уже о других преимуществах лазеров такого типа (небольшие габариты, вес, питающие напряжения и пр.).

Мы почти не будем рассматривать этот диапазон, всё достаточно подробно изложено ранее [Гейниц А.В. и др., 2012], но скажем несколько слов о ближнем ИК-спектре, который практически не представлен в специальной литературе, хотя аппаратное обеспечение реализации метода есть (лазерная излучающая головка КЛ-ВЛОК-808-40). Поскольку поглощение кровью в этой области мало, то незначительна и эффективность воздействия, что демонстрируют результаты экспериментальных исследований. Подавление спонтанной хемилюминесценции крови (свободнорадикальных процессов) наблюдается только в период острого заболевания на фоне определённого иммунологического статуса, не выявляется у здоровых доноров и зависит от длины волны НИЛИ: чем ближе к красной области спектра, тем эффект выше (рис. 2.14) [Karu T. et al., 1993<sup>(2)</sup>]. Представленная зависимость достаточно очевидно связана со спектром поглощения крови (рис. 1.11), хотя подтвердить этот вывод могли бы только аналогичные эксперименты для других длин волн (525 и 635 нм).

Ниже представлены основные эффекты действия НИЛИ с длиной волны 633–635 нм на кровь (табл. 2.10–2.12) и для сравнения данные экспериментальных и клинических исследований, проведённых с использованием лазерных источников с другими длинами волн (табл. 2.13–2.15).

Таблица 2.10

#### **Изменения компонент плазмы крови под действием НИЛИ с длиной волны 633 нм**

<b>Наблюдаемые изменения</b>	<b>Литература</b>
Увеличение оксидазной и СОД-подобной активности церулоплазмина, скорости окисления адреналина	Александрова Л.А. и др., 1989; Жуманкулов М.С. и др., 1989
Увеличение содержания церулоплазмина в крови	Коновалов Е.П., 1988
Снижение уровня диеновых конъюгатов (ДК) и малонового диальдегида (МДА)	Жуманкулов М.С. и др., 1989
Снижение содержания альбумина	Киселева Р.Е. и др., 1989
Увеличение содержания иммуноглобулинов M, G, A на 7-е сутки и нормализация на 15-е сутки	Киселева Р.Е. и др., 1989
Возрастает активность каталазы в сыворотке крови	Павловский М.П. и др., 1989
Изменяется структура плазменной части крови	Капустина Г.М., 1997; Картусова Л.Н., 1996

Таблица 2.11

**Изменения состояния форменных элементов крови  
под действием НИЛИ с длиной волны 633 нм**

Компонент крови / наблюдаемые изменения	Литература
<b>Эритроциты</b>	
Повышение проницаемости и деформируемости мембраны без изменения структуры, изменение формы эритроцитов, усиление кислородно-транспортной функции	Байбеков И.М. и др., 2008; Колмаков В.Н. и др., 1985; Слинченко О.И., 1994; Iijima K. et al., 1993, 1993 <sup>(1)</sup> ; Kovacs E. et al., 1996; Nemtsev I.Z., Koudryavtsev N.N., 1996; Siposan D.G., Lukacs A., 2001
Повышение уровня 2,3-дифосфоглицерата (2,3-ДФГ), снижение сродства гемоглобина к кислороду, усиление кислородного обмена	Гордеева С.И., Володина И.Л., 1989; Белоусов С.С. и др., 1989
Повышение активности супeroxиддисмутазы (СОД)	Васильева И.Ф., 1995; Волотовская А.В., 2003; Жуманкулов М.С. и др., 1989
Увеличение сродства $\text{Ca}^{2+}$ с белками, регулирующими активность $\text{Ca}^{2+}$ , $\text{Mg}^{2+}$ -АТФазы и $\text{Na}^+$ , $\text{K}^+$ -АТФазы, что приводит к катионным перераспределениям в крови	Мороз А.М., 1989
Повышение активности каталазы	Колмаков В.Н. и др., 1985; Свиридова С.П. и др., 1989
Усиление метаболического оборота, обновления и стабилизации липидной компоненты мембран эритроцитов	Бабушкина Г.В., и др., 1989
Снижение агрегационной способности	Белоусов С.С. и др., 1989
Трансформация стомацитов в дискоциты усиливает кислородно-транспортную функцию эритроцитов	Авруцкий М.Я. и др., 1997; Байбеков И.М. и др., 2008
Эритропоэз	Иньюшин В.М., 1969
Повышение гемолитической устойчивости эритроцитов	Сергеева Л.И., Еремина С.В., 1984
<b>Тромбоциты</b>	
Снижение активности, выражющееся в уменьшении адгезии, агрегационной способности, ограничении реакции освобождения	Вахтин В.И. и др., 1989; Корочкин И.М. и др., 1984; Мельникова Н.А., 1994
<b>Лейкоциты</b>	
Увеличение количества розеткообразующих клеток (Е-РОК) лимфоцитов	Гриневич Ю.А. и др., 1989
Повышение пролиферативной активности лимфоцитов периферической крови	Кузьмичева Л.В., 1995; Яковенко Н.Н. и др., 1989
Увеличение количества и активности палочко-ядерных нейтрофилов и эозинофилов, в меньшей степени моноцитов, сегментоядерных нейтрофилов, базофилов и лимфоцитов	Кузьмина В.Е., 1984; Кузьмина В.Е., Варижников К.А., 1984

## **Глава 3.4**

### **ОБЕЗБОЛИВАНИЕ ЛАЗЕРНЫМ СВЕТОМ, НЕКОТОРЫЕ МЕТОДОЛОГИЧЕСКИЕ ПОДХОДЫ (СОАВТ. А.В. КОЧЕТКОВ)**

Появление в книге этой главы обусловлено, в первую очередь, сложностью разнообразием методик лазерного воздействия с целью обезболивания. Кроме того, неоднозначна сама проблема боли, различны и способы её решения. Другой целью является знакомство российских читателей с этой темой, поскольку в отечественной литературе почти нет публикаций, в то время как большая часть зарубежных исследований была направлена на изучение лазерной терапии именно с точки зрения обезболивающего эффекта (*pain management*) лазерной терапии.

#### **3.4.1. Классификация болевых синдромов [по А.М. Вайн с соавт., 1999]**

Боль – понятие клинически и патогенетически сложное и неоднородное. Она различается по интенсивности, локализации и по своим субъективным проявлениям. Боль может быть стреляющей, давящей, пульсирующей, режущей, а также постоянной или периодической. Всё существующее многообразие характеристик боли во многом связано с самой причиной, вызвавшей анатомической областью, в которой возникает ноцицептивный импульс, и очень важно для определения причины боли и последующего лечения. Одним из наиболее существенных факторов в понимании этого феномена является разделение боли на острую и хроническую.

Совершенно не случайно само слово «боль» коренным образом связано с такими понятиями, как «больной», «больница», а отклонение от нормального, здорового состояния обозначается как «болезнь». Скорее всего, лингвистическая связь слов «боль» и «болезнь» определяется тем, что боль – одно из самых частых проявлений различных патологических процессов. В широком смысле боль является предупреждающим сигналом о возникающих в организме нарушениях, который открывает путь к распознаванию и лечению многих заболеваний. В этом смысле боль – важное и полезное ощущение.

В этой ситуации следует иметь в виду, что чувство боли является результатом реципрокных отношений между ноцицептивной и антиноцицептивной системами, которые индивидуальны и определяются как генетическими, так и приобретёнными факторами. Имеются высокочувствительные к болевым раздражителям «болевые» личности и люди, которым свойствен высокий болевой порог. Кроме того, следует признать и факт того, что восприятие боли является психофизиологическим процессом. Боль всегда окрашена эмоциональными переживаниями, что и придаёт ей индивидуальный характер. Важнейшими фак-

торами являются эмоционально-личностные особенности субъекта, уровень его невротизации, наличие депрессивно-ипохондрическо-сенестопатических проявлений. Существенно, что антиноцептивные системы и психическое состояние тесно взаимодействуют друг с другом за счёт анатомо-функциональных и нейрохимических связей. В тесном взаимодействии они определяют уровни болевой восприимчивости и особенности болевого переживания.

В последние годы особое внимание привлекают так называемые хронические боли. Главной их характеристикой служит длительное, часто монотонное проявление болей, которые нередко носят не строго локализованный, а диффузно распространённый характер. У таких больных головная боль сочетается с болями в спине, конечностях, животе и т. д. «Всё болит», – так часто определяют они своё состояние. Достаточно часто болезнь сразу проявляется распространёнными болевыми синдромами, иногда различные части тела волнуются постепенно, а в ряде случаев хронические боли оформляются на фоне уже существующих острых локальных. Но и в последней ситуации заболевание как бы отрывается от конкретных патологических процессов, вызвавших острые боли, и существует уже по своим закономерностям. Формирующиеся у пациентов хронические боли часто утрачивают какое-либо полезное сигнальное значение. В ряде случаев становится очевидным, что в основе их появления лежит психический фактор, и они могут обозначаться как психогенные. Ведущим патологическим алгоритмом, как правило, являются депрессия, ипохондрия или сенестопатия. Иногда этот синдром обозначают как *депрессия – боль*. Указанная категория больных представляется сложной. Постоянные обращения к врачу, длительный поиск органических причин боли, многочисленные инвазивные методы исследования и даже оперативные вмешательства (у ряда больных имеется синдром Мюнхгаузена, когда они настойчиво побуждают врача ко всём новым исследованиям или вмешательствам) – так протекает жизнь этих больных.

Разумеется, не все хронические боли у пациентов обусловлены психическими нарушениями. Онкологические заболевания, поражения суставов и другие болезни сопровождаются хроническими, но чаще всего локализованными болями. Хотя следует учесть возможность возникновения на этом фоне синдрома *депрессия – боль*.

Особое место среди болевых синдромов занимают висцералгии, т. е. боли, связанные с патологией внутренних органов, иннервация которых обеспечивается вегетативной нервной системой. Сейчас уже ясно, что центральные аппараты, проводящие, анализирующие и подавляющие болевые ощущения, являются общими для вегетативной и соматической нервных систем. А вот проведение болей в вегетативной нервной системе остаётся предметом изучения и дискуссии до настоящего времени. Следует подчеркнуть, что вегетативные боли (вегеталгии) не ограничиваются висцералгиями и могут проявляться симпаталическими синдромами на лице, конечностях и туловище.

Появление болевого симптома или синдрома всегда является сигналом опасности, требующим срочной помощи. И безусловно в первую очередь это

ментарных точек (до 6) осуществляется на область локализации болевого синдрома и звёздчатых ганглиев, по ходу сосудисто-нервного пучка на плече и предплечье, кончиков пальцев [Улащик В.С. и др., 2003<sup>(1)</sup>]. Опять же, импульсные лазеры в данной методике предпочтительнее.

## **Обоснование частных методик**

### **Ожог бытовой**

Боль характеризуется наличием диффузного и устойчивого болевого раздражителя. В данном случае важны временные периоды ноцицептивной реакции, состоящие из ранней фазы интенсивного ответа, приблизительно от 3 до 5 мин, относительного уменьшения реакции (от 9 до 15 мин) и поздней фазы устойчивой ноцицептивной реакции, приблизительно от 20 до 30 мин [Zeredo J.L. et al., 2005]. Обезболивающее действие НИЛИ начинается в течение 10 мин после воздействия и длится около 20 мин [Zeredo J.L. et al., 2003]. Известно, что НИЛИ блокирует деполяризацию ноцицептивных афферентов [Jimbo K. et al., 1998; Wakabayashi H. et al., 1993], однако одного сеанса освещивания недостаточно, чтобы подавить нервную проводимость в ранней фазе реакции [Zeredo J.L. et al., 2003].

Выход в данной ситуации оказывается достаточно простой, для достижения максимального и длительного эффекта обезболивания освещивание проводится дважды. Первый раз – как можно быстрее после ожога, стабильно, дистантно, экспозиция 2 мин. Как правило, уже к окончанию процедуры происходит уменьшение боли почти до полной редукции. Второй раз освещивание (2 или 5 мин) проводится через 10–15 мин после окончания первого сеанса. Временной промежуток между сеансами индивидуален, определяется по субъективному ощущению нарастания боли, возврату неприятных ощущений, в этот момент и необходимо начинать второй сеанс ЛТ. Лучше всего для данной методики подходит матричная импульсная ИК-лазерная излучающая головка МЛ-904-80 (904 нм), мощность максимальная (60–80 Вт), частота 80–150 Гц. С профилактической целью и для лучшего заживления необходимо провести дополнительно 2–3 ежедневные процедуры, экспозиция 2 мин стабильно, дистантно, на область травмы, параметры НИЛИ те же. Аппараты лазерные физиотерапевтические «Лазмик» или «Лазмик-ВЛОК».

### **Фибромиалгия и миофасциальные болевые синдромы**

Одни из наиболее ярких примеров хронической боли. Фибромиалгию (ФМ) определяют как неревматическую несуставную диффузную (распространённую) симметричную боль, носящую хронический характер и сопровождающуюся скованностью, депрессией, нарушениями сна и наличием характерных болевых точек. Факторами, провоцирующими болевые ощущения, являются:

физическое переутомление, эмоциональные переживания, длительное познное перенапряжение, пребывание в неподвижном состоянии, а также холод и влажность. Боли облегчаются под воздействием тепла, массажа, после отдыха, чередующегося с кратковременными периодами физической активности [Вейн А.М. и др., 1999].

Единственным специфическим феноменом ФМ считается наличие болевых точек, обозначаемых как Tender Points (TP). Существование болезненности в определённых зонах на теле больных ФМ было замечено давно, Н. Smythe предложил этот факт в качестве критерия диагностики ФМ в 1972 г. В последующем важность выявления специфических чувствительных точек в диагностике ФМ указывали многие авторы. TP являются главной составной частью современных критериев ФМ, причём сами больные могут не знать о наличии у них этих точек. TP имеют характерные особенности: чтобы вызвать боль, достаточно легкого усилия; при пальпации можно получить ту боль, которая у больных возникает спонтанно; болевые точки расположены строго в определённых местах, т.е. имеется специфическая карта TP [Вейн А.М. и др., 1999]. Расположение основных болевых точек (TP) при ФМ представлено на рис. 3.9:

- затылочная область – место прикрепления *m. suboccipitalis*;
- область шеи – передние отделы пространств между поперечными отростками на уровне *C<sub>V</sub>* и *C<sub>VII</sub>*;
- трапециевидная мышца – середина верхнего края *m. trapezius*;
- надостная мышца – место начала *m. supraspinatus*;
- грудино-реберное сочленение на уровне второго ребра;
- латеральный надмыщелок плеча – 2 см дистальнее;
- ягодичная область – верхний наружный квадрант ягодицы по переднему краю мышцы;
- в медиальной жировой подушке в области коленно-гостистого сустава.

Максимальное количество точек неизвестно, но у женщин

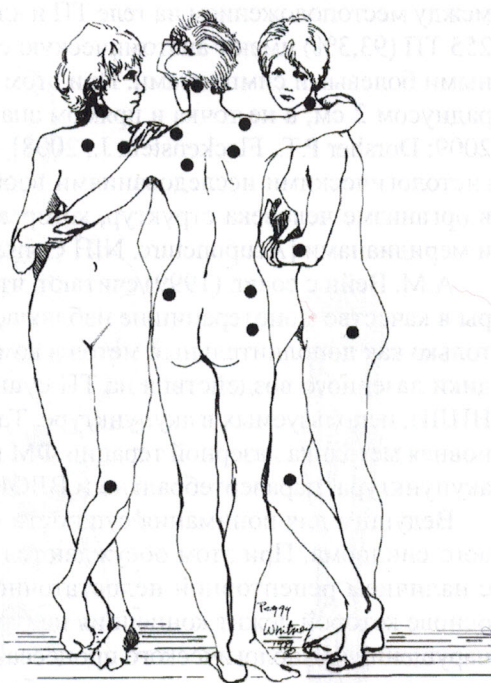


Рис. 3.9. Основные болевые точки при фибромиалгии